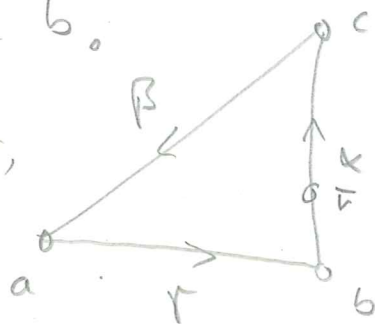


1. Eine Geodätische in einem metrischen Raum X ist eine Kurve $\gamma: J \rightarrow X$, wobei $J \subseteq \mathbb{R}$ ein Intervall ist, mit $d(\gamma(s), \gamma(t)) = |s-t|$ für alle $s, t \in J$.
Ist $J = [a, b]$, so heißt γ Geodätische von $\gamma(a)$ nach $\gamma(b)$. Ein metrischer Raum heißt geodätisch, wenn zwei Punkte immer durch eine Geodätische verbindbar sind.

Bsp $(\mathbb{R}^n, \|\cdot\|_p)$ ist geodätisch (jeder normierter Vektorraum ist geodätisch).

Ein geodätisches Dreieck $\Delta(a, b, c, \alpha, \beta, \gamma)$ besteht aus Punkten $a, b, c \in X$ und Geodätischen α, β, γ von b nach c nach a nach b .

Die Dreiecks-Ungleichung garantiert, dass es in $(\mathbb{R}^2, \|\cdot\|_2)$ Punkte



$\bar{a}, \bar{b}, \bar{c}$ gibt mit $d(a, b) = \|\bar{a} - \bar{b}\|_2$
 $d(b, c) = \|\bar{c} - \bar{b}\|_2$
 $d(c, a) = \|\bar{a} - \bar{c}\|_2$

und Geodätisch $\bar{\alpha}(t) = \bar{a} + t \frac{\bar{b} - \bar{a}}{\|\bar{b} - \bar{a}\|_2}$ usw. Ist

$v = \alpha(s)$ so heißt $\bar{v} = \bar{\alpha}(s)$ Vergleichspunkt, und

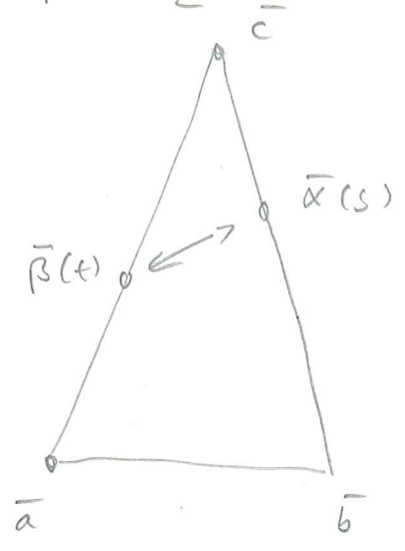
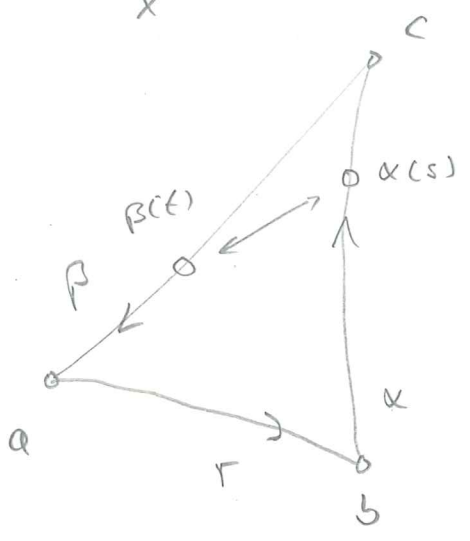
$\Delta(\bar{a}, \bar{b}, \bar{c}, \bar{\alpha}, \bar{\beta}, \bar{\gamma})$ heißt Vergleichsdreieck zu $\Delta(a, b, c, \alpha, \beta, \gamma)$.

Beachte: alle Vergleichsdreiecke sind kompakt in \mathbb{R}^2

Ein geodätischer metrischer Raum X heißt CAT(0) Raum (Cartan-Alexandrov-Toponogov, Krümmung ≤ 0),

wenn gilt: für jedes geodätische Dreieck $\Delta(a, b, c, \alpha, \beta, \gamma)$ in X mit Vergleichsdreieck $\Delta(\bar{a}, \bar{b}, \bar{c}, \bar{\alpha}, \bar{\beta}, \bar{\gamma})$ in $(\mathbb{R}^2, \|\cdot\|_2)$ und alle $s \in [0, d(b, c)]$, $t \in [0, d(c, a)]$ ist

$$d_X(\alpha(s), \beta(t)) \leq \|\bar{\alpha}(s) - \bar{\beta}(t)\|_2$$

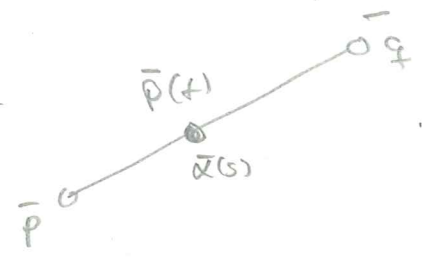
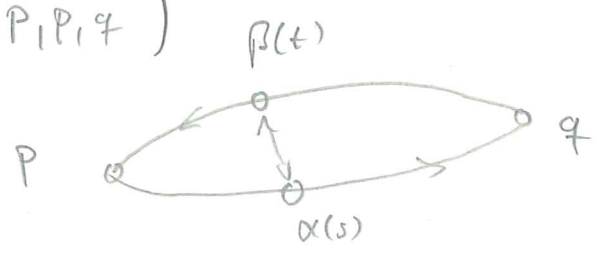


Beispiel Für $n \geq 2$ ist $(\mathbb{R}^n, \|\cdot\|_p)$ genau dann ein CAT(0)-Raum, wenn $p=2$. (üA).

Alexandrov ist ein Banachraum genau dann CAT(0), wenn er ein Hilbertraum ist.

Beobachtung Aus der CAT(0)-Bedingung folgt sofort,

dass zwei Punkte $p, q \in X$ durch genau ein Geodätisch verbunden sind (betrachte das Dreieck mit Ecken p, p, q)

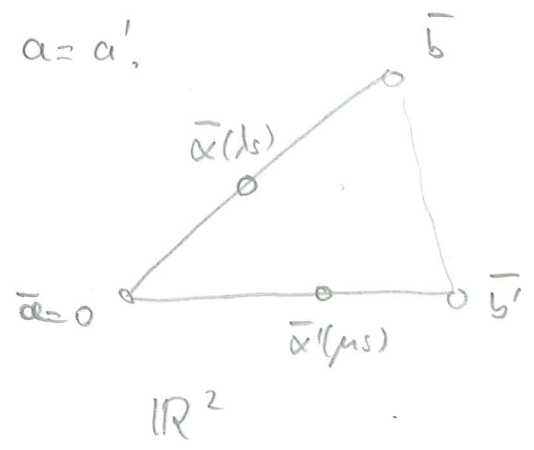
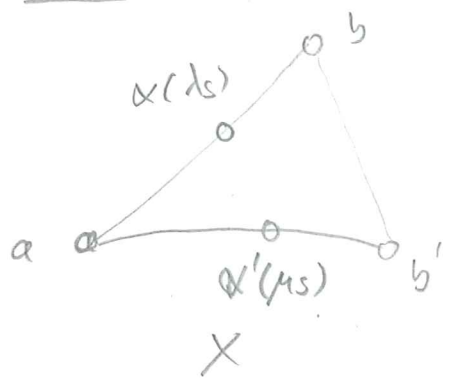


Tatsächlich gilt ein wesentlich stärkerer Aussage

2. Lemma In einem CAT(0)-Raum (X, d) ist die Metrik konvex: Sind $a, b, a', b' \in X$ und α, α' Geodätisch von a nach b bzw. von a' nach b' , so gilt mit $\lambda = d(a, b)$, $\mu = d(a', b')$, dass für alle $s \in [0, 1]$

$$d(\alpha(\lambda s), \alpha'(\mu s)) \leq (1-s)d(a, a') + s d(b, b')$$

Beweis Betrachte zuerst den Fall $a = a'$.

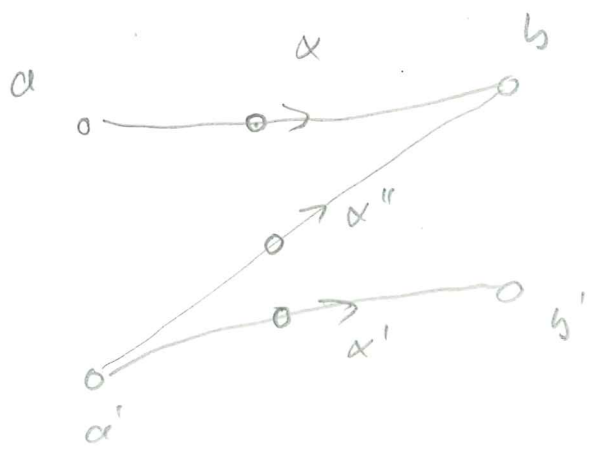


$$\begin{aligned} \bar{\alpha}(\lambda s) &= s \cdot b \quad \bar{\alpha}'(\mu s) = s \cdot b' \\ \|s \cdot b - s \cdot b'\|_2 &= s \|b - b'\|_2 \end{aligned}$$

$$\Rightarrow d(\alpha(\lambda s), \alpha'(\mu s)) \leq s d(b, b') \quad (\checkmark)$$

Allgemein Fall

$\nu = d(a', b)$ α'' Geodät. von a' nach b .

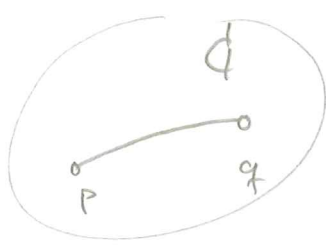


$$\begin{aligned} d(\alpha'(\mu s), \alpha''(\nu s)) &\leq s d(b, b') \\ d(\alpha(\mu(1-s)), \alpha''(\nu(1-s))) &\leq (1-s) d(a, a') \end{aligned}$$

\Rightarrow Beh.



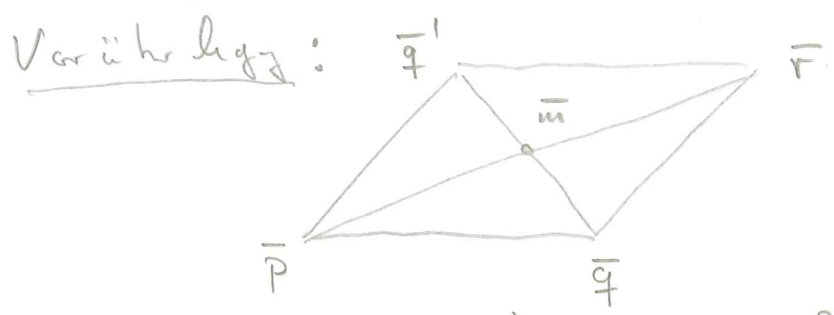
3. Def Sei X ein CAT(0)-Raum. Eine nichtleere Teilmenge $G \subseteq X$ heißt konvex, wenn zu allen $p, q \in G$ die Geodätische von p nach q in G liegt.



Offensichtlich ist G dann wieder ein CAT(0)-Raum. Durchschnitte konvexer Mengen sind wieder konvex.

Lemma Ist X ein CAT(0)-Raum und ist $G \subseteq X$ eine konvexe vollständige Teilmenge, so gibt es zu jedem $p \in X$ genau ein $q \in G$ mit $d(p, q) = d(p, G)$. \neq

Beweis Sei $\delta = d(p, G)$. Elementar geometrisch



$$2(\|\bar{p} - \bar{q}\|_2^2 + \|\bar{p} - \bar{q}'\|_2^2) = \|\bar{p} - \bar{r}\|_2^2 + \|\bar{q}' - \bar{q}\|_2^2$$

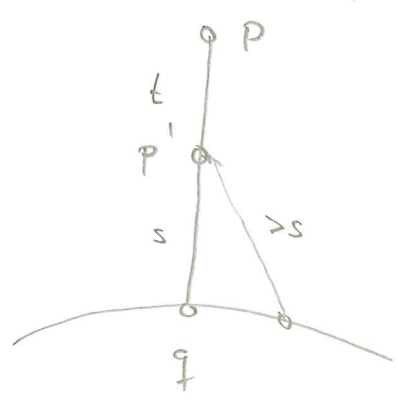
Ist also $q, q' \in G$ und m der Mittelpunkt der Geodätischen von q nach q' , so gilt $\|\bar{m} - \bar{p}\|_2^2 \geq d(m, p)^2 \geq \delta^2$.

Mit $d(p, q)^2 = \|\bar{p} - \bar{q}\|_2^2 \leq (\delta + \varepsilon)^2 = \delta^2 + 2\delta\varepsilon + \varepsilon^2$
 $d(p, q')^2 = \|\bar{p} - \bar{q}'\|_2^2 \leq \delta^2 + 2\delta\varepsilon + \varepsilon^2$

folgt $4\delta^2 + 4\varepsilon^2 + 8\delta\varepsilon \geq 4\delta^2 + d(q, q')^2$

Ist also $(q_n)_{n \in \mathbb{N}}$ ein Folg in G mit $\lim_n d(p, q_n) = \delta$,
 so folgt, dass $(q_n)_{n \in \mathbb{N}}$ ein Cauchy-folgen ist. Da G
 vollständig ist, hat sie einen Grenzwert $q \in G$, und
 $d(p, q) = \delta$. Ebenso folgt die Eindeutigkeit von q . \square

Wir setzen $q = \text{proj}_G(p)$. Ist p' ein Punkt auf
 der Geodätisch von p nach q , so folgt $q = \text{proj}_G(p')$



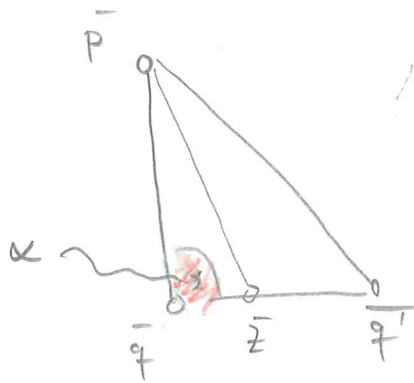
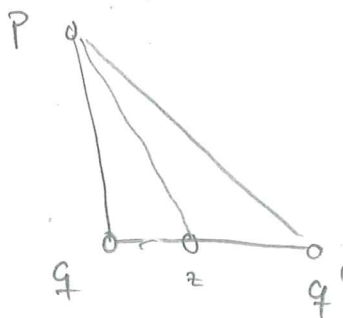
$$d(p, q) = s + t < s' + t.$$

4. Satz Sei X ein $\text{CAT}(0)$ -Raum und sei $G \subseteq X$
 konvex und vollständig. Dann ist die Abbildung
 $X \rightarrow G, p \mapsto \text{proj}_G(p)$ eine 1-Lipschitz Retraktion.
 Für $s \in [0, 1]$ und $p \in X$ sei $h_s(p)$ der Punkt auf der
 Geodätisch von p nach $q = \text{proj}_G(p)$ mit $d(h_s(p), q) (=$
 $= s d(p, q))$. Dann ist $h: X \times [0, 1] \rightarrow X$ eine Homotopie
 zwischen id_X und proj_G . Insbesondere ist G Deformations-
 retrakt von X .

Bewi. Sei $p, p' \in X$ mit $q = \text{proj}_C(p)$, $q' = \text{proj}_C(p')$.

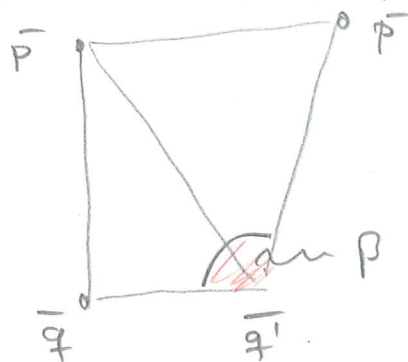
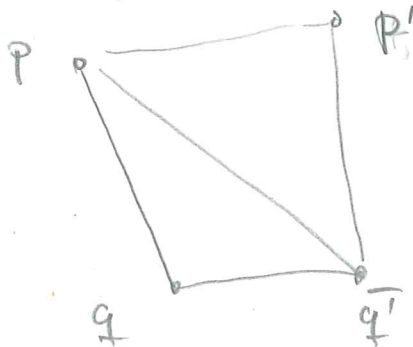
Beh: $d(p, p') \geq d(q, q')$. Betrachte dazu Vergleichs-

drück.



Wobei $d(p, z) \leq \|z - \bar{p}\|_2$ für alle z folgt sofort $\alpha \geq \frac{\pi}{2}$.

Füge nun das Vergleichsdrück in $p-q'-p'$ ein.

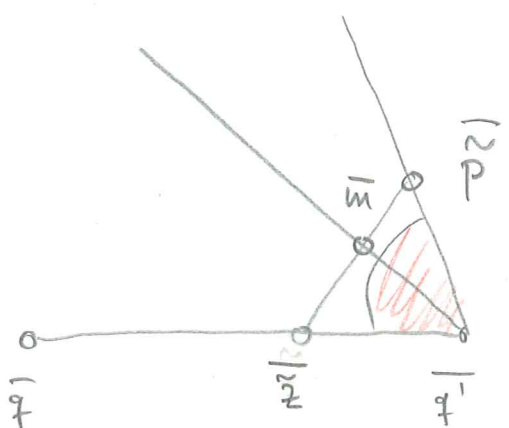


Wir behaupten, dass $\beta \geq \frac{\pi}{2}$

Wäre das falsch, hätten wir für \tilde{p} und \tilde{z} wie unten,

dass

$$\begin{aligned}
 d(\tilde{z}, \tilde{p}) &\leq d(\tilde{z}, m) + d(m, \tilde{p}) \\
 &\leq \|\tilde{z} - \bar{m}\|_2 + \|\bar{m} - \tilde{p}\|_2 \\
 &= \|\tilde{z} - \tilde{p}\|_2 < \|\tilde{p} - q'\|_2 = d(\tilde{p}, q') \downarrow
 \end{aligned}$$

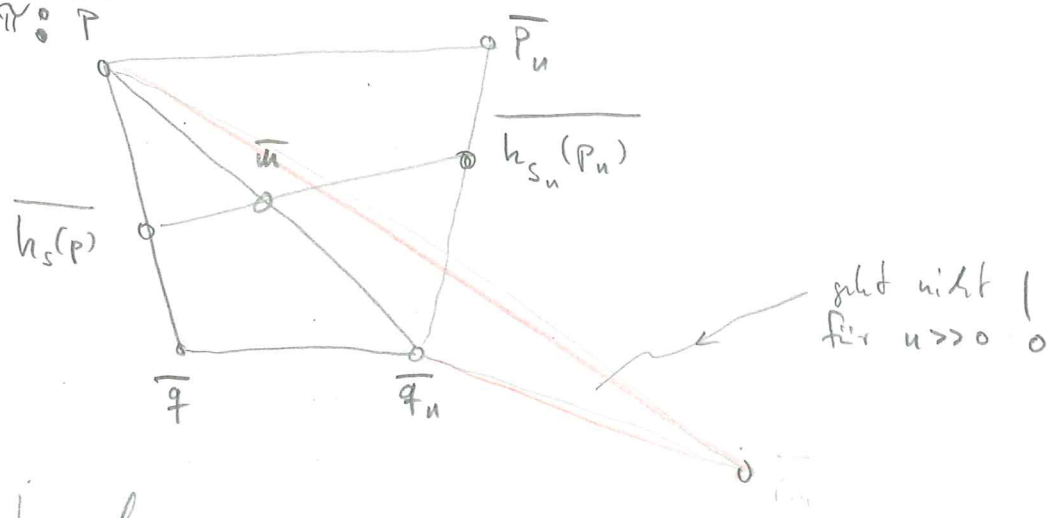


Also ist $\beta \geq \frac{\pi}{2}$. Es folgt elementar geometrisch, dass $d(p, p') \geq d(q, q')$ (auch wenn $\beta > \pi$!)

Damit ist $\text{proj}_C : X \rightarrow C$ 1-Lipschitz.

Beh $h: X \times [0,1] \rightarrow X$ ist stetig.

Argument, $\lim_n P_n = P$ und $\lim_n S_n = S$. Für n hinreichend groß ist das Winkel β im Vergleich $\alpha < \beta$:



Dann folgt aus

$$d(h_S(p), h_{S_n}(p_n)) \leq \| \overline{h_S(p)} - \overline{h_{S_n}(p_n)} \|_2 \text{ und}$$

die rechte Seite geht gegen 0 für $n \rightarrow \infty$.

□

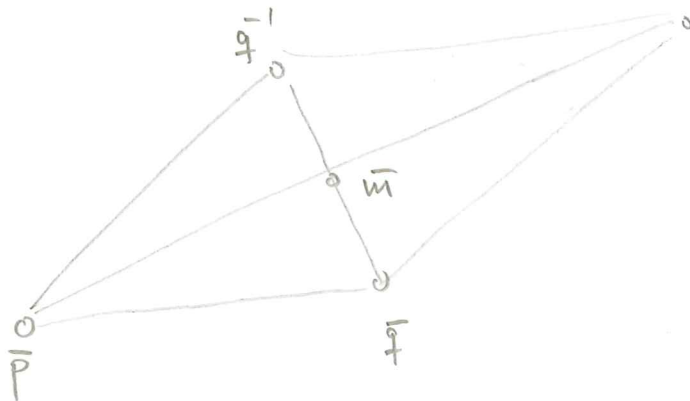
5. Korollar Jeder $\text{CAT}(0)$ -Raum X ist kontrahierbar, jede Kurve nicht leer Teilmenge $C \subseteq X$ ist kontrahierbar. Jeder offene oder abgeschlossene Ball $B_r(x), \bar{B}_r(x) \subseteq X$ ist kontrahierbar.

6. Def Der Radius einer beschränkten Teilmenge $E \subseteq X$ eines metrischen Raums ist $\text{rad}(E) = \inf\{r > 0 \mid \text{es gibt } x \in X \text{ mit } E \subseteq \bar{B}_r(x)\}$

Theorem (Brubaker-Tibb-Satz) Sei X ein vollständiger $\text{CAT}(0)$ -Raum, sei $E \subseteq X$ beschränkt. Dann gibt es genau einen Punkt $q \in E$ mit

$\bar{B}_r(q) \supseteq E$ und $r = \text{rad}(E)$,
das Zentrum von E .

Beweis Sei $r = \text{rad}(E)$, seien $q, q' \in X$ Punkte mit $\bar{B}_{r+\varepsilon}(q') \cap \bar{B}_{r+\varepsilon}(q) \supseteq E \ni p$



Wie in §2.3 gilt $4r^2 + 4\varepsilon^2 + 8r\varepsilon \geq 4r^2 + d(q, q')^2$

Ist also $(q_n)_{n \in \mathbb{N}}$ ein Folge in X mit

$\bar{B}_{r+\frac{1}{n}}(q_n) \supseteq E$, so ist $(q_n)_{n \in \mathbb{N}}$ ein Cauchyfolge,

mit Grenzwert q . Für jede Punkt $p \in E$ folgt $\lim d(q_n, p) \leq r$, also $\bar{B}_r(q) \supseteq E$. Aus der Cauchy eigenschaft folgt auch die Eindeutigkeit von q .

Korollar Ist X vollständiger CAT(0)-Raum und ist $E \subseteq X$ kompakt (z.B. E endlich), so ist E beschränkt und es gibt genau ein $q \in X$ mit $\bar{B}_r(q) \supseteq E$ und $r = \text{rad}(E)$.

7. Def Sei X ein metrischer Raum und G eine Gruppe. Ein isometrischer Wirkungs von G auf X ist ein Homomorphismus $G \rightarrow \text{Iso}(X)$. Die Fixpunktmenge von G ist $X^G = \{x \in X \mid g(x) = x \text{ für alle } g \in G\}$

Lemma Wenn $X^G \neq \emptyset$ und wenn X ein CAT(0)-Raum ist, so ist X^G abgeschlossen und konvex.

Beweis ÜA □

8. Theorem (Brahma-Tits-Fixpunktsatz)

Sei X ein vollständiger CAT(0)-Raum, sei G eine Gruppe, die isometrisch auf X operiert. Dann sind äquivalent.

- (1) Es gibt eine beschränkte G -Bahn $G(x) \subseteq X$
- (2) Jede G -Bahn $G(x) \subseteq X$ ist beschränkt
- (3) $X^G \neq \emptyset$, es gibt G -Fixpunkte.

Beweis (3) \Rightarrow (2) klar: $x \in X^G, y \in X \Rightarrow G(y) \subseteq \bar{B}_r(x)$ mit $r = d(x,y)$.

(2) \Rightarrow (1) trivial

(1) \Rightarrow (3) Ist $G(x) = E \subseteq X$ beschränkt, so gibt es genau ein $q \in X$ mit $\bar{B}_r(q) \supseteq E, r = \text{rad}(E)$.

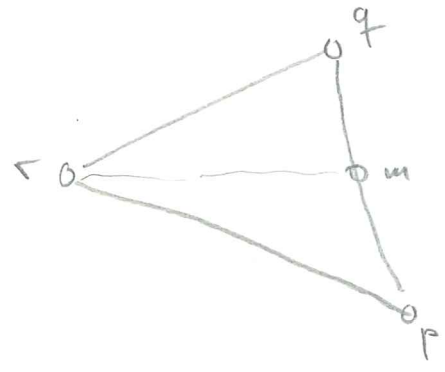
Da E G -invariant ist, ist auch q G -invariant, d.h. $q \in X^G$. □

#

9. Die CN-Ungleichung

Lemma (Brahma-Tits) Sei X ein CAT(0)-Raum.

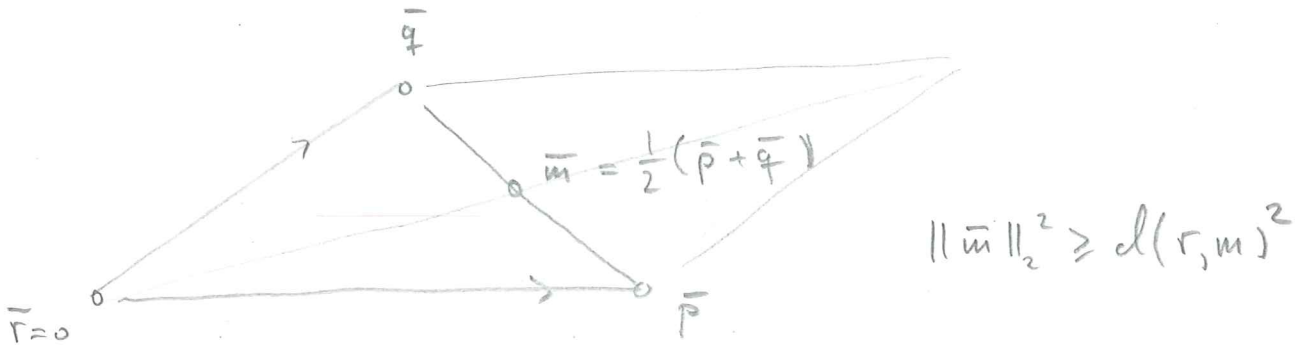
Sei $p, q, r \in X$ und sei $m \in X$ der Mittelpunkt von $\{p, q\}$, d.h. $d(p, m) = d(m, q) = \frac{1}{2} d(p, q)$



Dann gilt die CN-Ungleichung (Cartan negative)

$$2d(r, m)^2 \leq d(p, r)^2 + d(q, r)^2 - \frac{1}{2}d(p, q)^2$$

Beweis: Nachrechnen im Vergleichsmodell in \mathbb{R}^2



$$2\|\bar{p}\|_2^2 + 2\|\bar{q}\|_2^2 = 4\|\bar{m}\|_2^2 + \|\bar{p} - \bar{q}\|_2^2 \quad \square$$

Korollar: Sei X vollständiger CAT(0)-Raum, seien $E, E' \subseteq X$ beschränkt mit Zentren z, z' und Radien r, r' . Wenn $E \subseteq E'$ gilt, so gilt

$$d(z, z') \leq \sqrt{2} \sqrt{r'^2 - r^2}$$

Beweis: Für $z = z'$ ist nichts zu zeigen. Sonst sei m der Mittelpunkt von $\{z, z'\}$. Da m nicht der Zentrenpunkt von E ist, gibt es $q \in E$ mit $d(m, q) > r$



$$\begin{aligned} 2r^2 < 2d(q, m) &\leq d(z, q)^2 + d(z', q)^2 - \frac{1}{2}d(z, z')^2 \\ &\leq r^2 + r'^2 - \frac{1}{2}d(z, z')^2 \end{aligned}$$

$$r^2 - r'^2 > d(z, z')^2 \leq (r'^2 - r^2)2 \quad \square$$

Korollar Ein CAT(0)-Raum X ist genau dann vollständig, wenn es sphärisch vollständig ist.

Beweis Es gilt immer: sphärisch vollständig \Rightarrow vollständig.

Sei $(\bar{B}_{r_n}(z_n))_{n \geq 0}$ absteigend Folge von abg. Bällen,

$\bar{B}_{r_0}(z_0) \supseteq \bar{B}_{r_1}(z_1) \supseteq \dots$. Ob ist die Folge $(r_n)_{n \geq 0}$ monoton

fallend Folge nicht notwendigerweise reelle Zahl, also ein Cauchy-

Folge. Nach dem vorigen Korollar ist auch $(z_n)_{n \geq 0}$ ein

Cauchy Folge, mit Grenzwert $\lim z_n = z$. Für jede $m \geq n \geq 0$

gilt $z_m \in \bar{B}_{r_n}(z_n) \Rightarrow z \in \bar{B}_{r_n}(z_n)$ für alle $n \geq 0$. \square

10. Def Ein metrischer Raum (X, d) hat Mittelpunkte,

wenn es zu allen $u, v \in X$ stets ein $m \in X$ gibt mit

$$d(u, m) = d(m, v) = \frac{1}{2} d(u, v)$$

Bsp $\circ \mathbb{Q}$ hat Mittelpunkte

\circ jeder euklidischer Raum hat Mittelpunkte

Lemma Ein vollständiger metrischer Raum X , der

Mittelpunkte hat, ist euklidisch.

Beweis: ÜA Idee Sei $u, v \in X$ und sei

$h = d(u, v)$. Sei $J = [0, h]$ und sei

$$J_0 = \{0, h\}$$

$$J_1 = \{0, \frac{1}{2}h, h\}$$

$$J_2 = \{0, \frac{1}{4}h, \frac{2}{4}h, \frac{3}{4}h, h\}$$

⋮

Konstruieren per Induktion isometrische Einbettung

$$\gamma_k: J_k \rightarrow X$$

mit $\gamma_{k+1}|_{J_k} = \gamma_k$. Setze $J_\infty = \bigcup_{k=0}^\infty J_k \subseteq [a,b]$.

Das ist eine dichte Teilmenge. Da X vollständig ist, gibt es eine isometrische Fortsetzung $\gamma: [a,b] \rightarrow X$. \square

11. Def Ein metrischer Raum X hat unfähige Mittelpunkte, wenn es zu allen $u, v \in X, \epsilon > 0$ ein $m \in X$ gibt mit $d(u, m), d(m, v) \leq \frac{1}{2}d(u, v) + \epsilon$.

ϵ_r erfüllt die CAT(0)-4-Punkt-Bedingung,

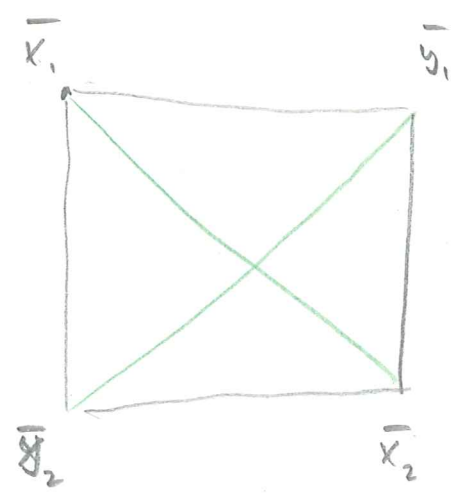
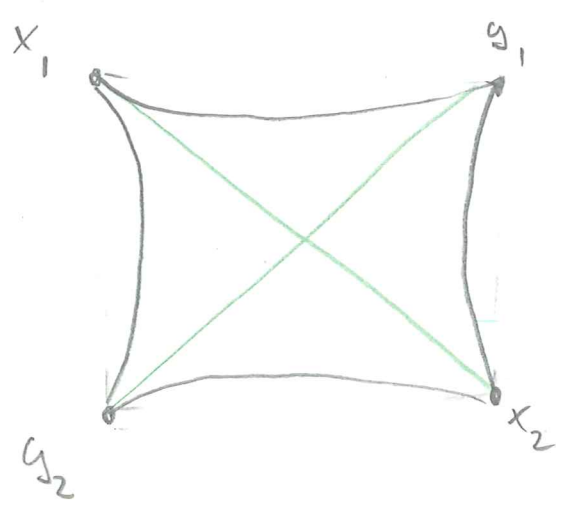
wenn es zu allen $(x_1, y_1, x_2, y_2 \in X$ stets

$\bar{x}_1, \bar{y}_1, \bar{x}_2, \bar{y}_2 \in \mathbb{R}^2$ gibt mit

$$d(x_i, y_j) = \|\bar{x}_i - \bar{y}_j\|_2 \quad i, j \in \{1, 2\}$$

$$d(x_1, x_2) \leq \|\bar{x}_1 - \bar{x}_2\|_2$$

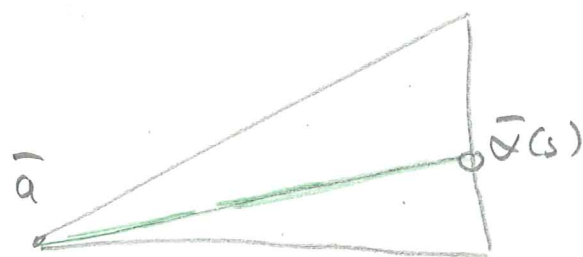
$$d(y_1, y_2) \leq \|\bar{y}_1 - \bar{y}_2\|_2$$



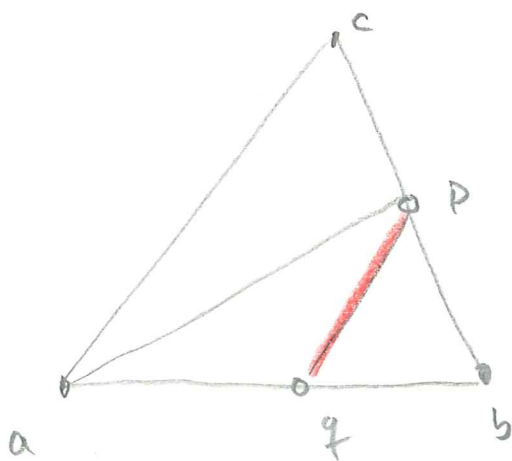
Wir werden gleich sehen, dass man $CAT(0)$ -Räume darüber charakterisieren kann. Vorher noch ein Lemma.

12. Lemma Ein geodätisch Raum ist genau dann $CAT(0)$, wenn für jedes geodätisch Dreieck $\Delta(a, b, c, \alpha, \beta, \gamma)$ mit Vergleichsdreieck $\Delta(\bar{a}, \bar{b}, \bar{c}, \bar{\alpha}, \bar{\beta}, \bar{\gamma})$ im $(\mathbb{R}^2, \|\cdot\|_2)$ gilt:

$$d(a, \alpha(s)) \leq \|\bar{a} - \bar{\alpha}(s)\|_2 \quad \text{für alle } s$$



Beweis



Im VD zu a, b, c gilt

$$d(a, p) \leq \|\bar{a} - \bar{p}\|_2$$

Jetzt Vergleichsdreieck $\bar{a}, \bar{b}, \bar{p}$ zu a, b, p \rightsquigarrow

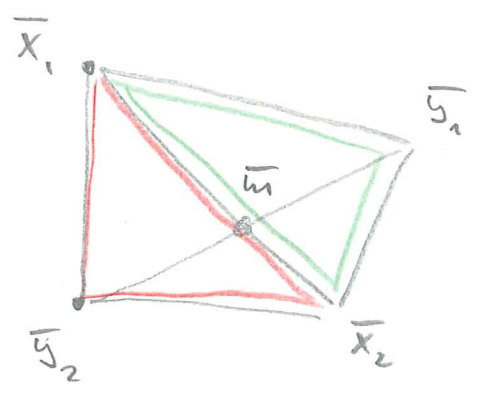
$$d(a, p) \leq \|\bar{q} - \bar{p}\|_2 \leq \|\bar{q} - \bar{a}\|_2$$

□

13. Theorem Ein vollständig metrischer Raum ist genau dann CAT(0), wenn er umföhre Mittelpunkte hat und alle 4-Tupel von Punkten die CAT(0)-4-Punkt-Bedingung erfüllen.

Beweis: Angenommen, X ist CAT(0). Dann hat X Mittelpunkte, also auch umföhre Mittelpunkte.

Sei $x_1, y_1, x_2, y_2 \in X$. Betrachte euklidisch Vergleichsdreiecke zu $x_1 - x_2 - y_2$ und zu $x_1 - x_2 - y_1$.



Wenn das resultierende Viereck konvex ist, so gilt

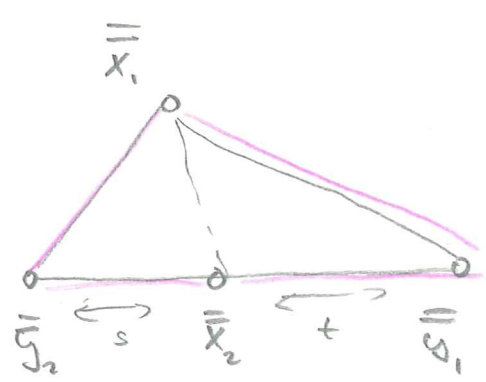
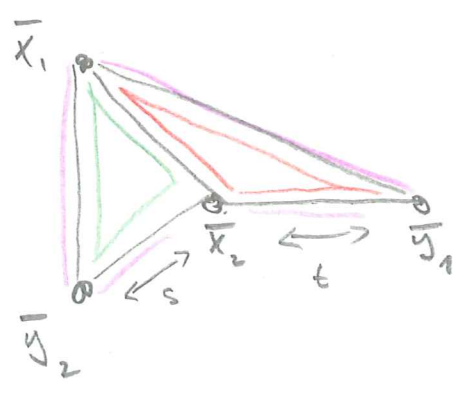
$$d(y_2, m) + d(m, y_1) \geq d(y_2, y_1)$$

$$= \|\bar{y}_2 - \bar{m}\|_2 + \|\bar{m} - \bar{y}_1\|_2$$

$$= \|\bar{y}_2 - \bar{y}_1\|_2 \quad (\checkmark)$$

Wenn es nicht konvex ist, betrachte folgendes

Dreieck in \mathbb{R}^2



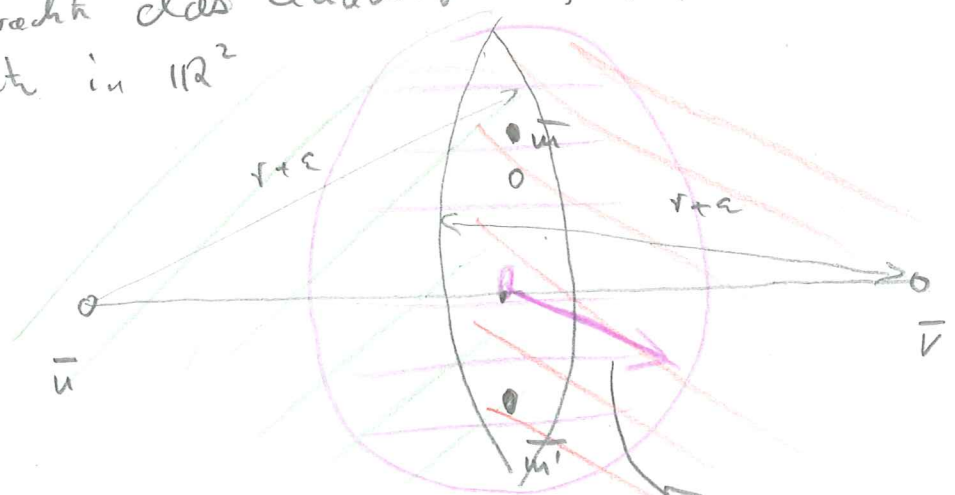
$$\|\bar{x}_1 - \bar{x}_2\|_2 \geq \|\bar{x}_1 - \bar{x}_2\|_2 = d(x_1, x_2)$$

$$\|\bar{y}_1 - \bar{y}_2\|_2 = \|\bar{y}_1 - \bar{x}_2\|_2 + \|\bar{x}_2 - \bar{y}_2\|_2 = d(y_1, x_2) + d(x_2, y_2) \geq d(y_1, y_2) \quad \square$$

Zetzt nehmen wir an, X ist vollständig, hat
ungefähre Mittelpunkte und erfüllt die CAT(0)
4-Punkte-Bedingg.

Beh X hat Mittelpunkte und ist daher geodätisch. #

Sind $u, v \in X$ mit $d(u, v) = 2r$ und ungefähre
Mittelpunkte m, m' , $d(u, m), d(u, m'), d(v, m), d(v, m') \leq r + \epsilon$
betrachte das Quadriviel u, m, v, m' und Vergleichs-
punkte in \mathbb{R}^2



$d(u, v) = 2r \leq \| \vec{u} - \vec{v} \|_2 \leq 2r + 2\epsilon$ Radius \tilde{r}

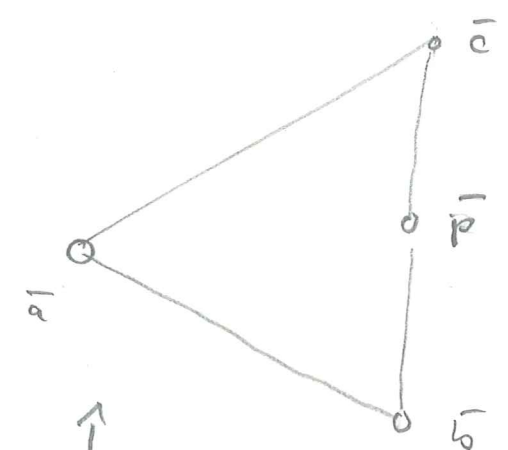
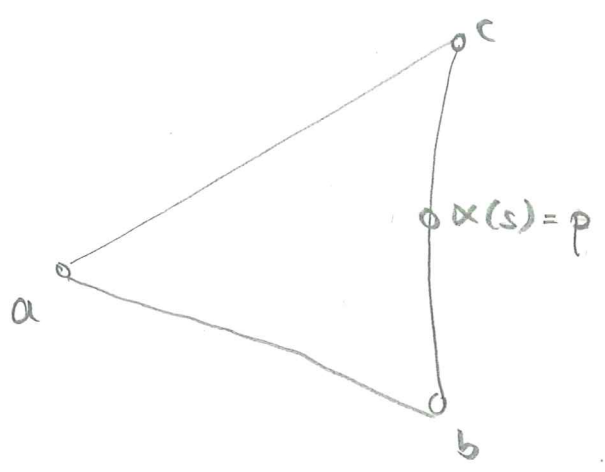
$\tilde{r}^2 \leq 2r\epsilon + \epsilon^2$

Ist also $(m_n)_{n \in \mathbb{N}}$ ein Folg von ungefähre Mittel-
punkte mit Fehlerterm $\epsilon_n \leq \frac{1}{n}$, so ist $(m_n)_{n \in \mathbb{N}}$
ein Cauchy folg. Der Grenzwert $m = \lim_n m_n$ ist
ein Mittelpunkt. □

Nach § 2.10 ist X geodätisch.

Sei $\Delta(a, b, c, \alpha, P, r)$ ein geodätisches Dreieck in X .

Wir heurten die Bedingg an § 2.12.



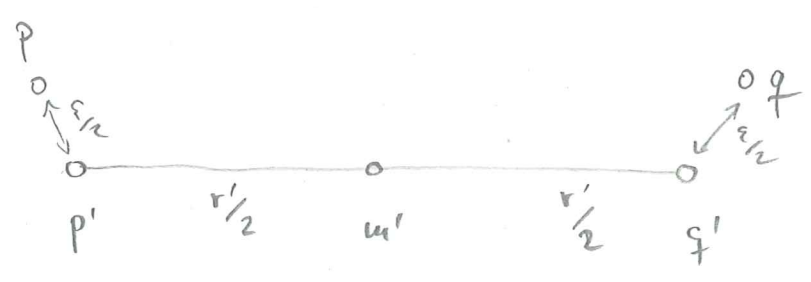
CAT(0)-4-Punkte-Beding.

Wen $\| \bar{a} - \bar{c} \|_2 \geq d(b, c) = d(b, p) + d(p, c) = \| \bar{b} - \bar{p} \|_2 + \| \bar{p} - \bar{c} \|_2$
 ist \bar{p} auf der Strecke von \bar{b} nach \bar{c} , d.h. wir
 haben ein Vergleichsdreieck. Nun gilt $\| \bar{a} - \bar{p} \|_2 \geq d(a, p)$.



14. Theorem Die metrische Vervollständigung eines
 CAT(0)-Raums ist ein CAT(0)-Raum.

Beweis Sei X CAT(0) mit Vervollständigung
 Z , d.h. Z ist vollständig und X ist dicht in Z .
 Wir zeigen, dass die Bedingungen aus Thm §2.13
 erfüllt sind. Sei $p, q \in Z$, $\epsilon > 0$. Wähle
 $p', q' \in X$ mit $d(p, p') < \frac{\epsilon}{2}$, $d(q, q') < \frac{\epsilon}{2}$ und
 $m' \in X$ Mittelpunkt von $p' - q'$. Sei $r = d(p, q)$ und
 $r' = d(p', q')$.



Es gilt $r' \leq r + \varepsilon$, also

$$d(p, m') \leq \frac{r'}{2} + \frac{\varepsilon}{2} \leq \frac{r}{2} + \varepsilon$$

$$d(q, m') \leq \frac{r}{2} + \varepsilon$$

d.h. Z hat eine f\u00e4hne Mittelpunkte.

Sei jetzt $(x_1, y_1, x_2, y_2) \in Z^4$. W\u00e4hle Folge

$(x_1(h), y_1(h), x_2(h), y_2(h))$ in X^4 mit dem Grenzwert und CAT(0)-4-Punkt Vergleichspunkte

$$(\bar{x}_1(h), \bar{y}_1(h), \bar{x}_2(h), \bar{y}_2(h)) \in (\mathbb{R}^2)^4, \quad \text{OE } \bar{x}_1(h) = 0$$

so die Folge hat ein H\u00e4ufungspunkt in $(\mathbb{R}^2)^4$ (wird beschr\u00e4nkt). Wir d\u00fcrfen OE auch, dass

wir Konvergenz haben, $\lim_n (\bar{x}_1(n), \bar{y}_1(n), \bar{x}_2(n), \bar{y}_2(n))$

$$= (\bar{x}_1, \bar{y}_1, \bar{x}_2, \bar{y}_2). \text{ Dann folgt}$$

$$d(x_i, y_j) = \|\bar{x}_i - \bar{y}_j\|_2 \quad i, j \in \{1, 2\}$$

$$d(x_1, y_1) \leq \|\bar{x}_1 - \bar{y}_1\|_2$$

$$d(x_2, y_2) \leq \|\bar{x}_2 - \bar{y}_2\|_2$$



Wir studieren jetzt Beispiele. Jede vollständig 1-zust. Riem. Met. mit Schnittkr\u00fcmmung ≤ 0 ist ein Beispiel; insbesondere der hyperbolische Raum H^m . Wir konstruieren ihn elementar geometrisch.

15. Der (reelle) Hyperbolisch Raum H^m

Erinnere an Analysis 1: $ch(t) = \frac{1}{2}(e^t + e^{-t})$

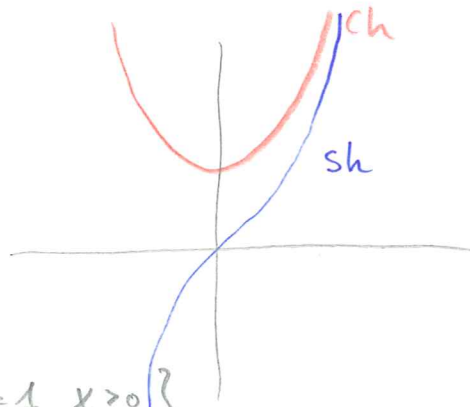
$sh(t) = \frac{1}{2}(e^t - e^{-t})$

$sh(t) : \mathbb{R} \rightarrow \mathbb{R}$ ist Homöomorphism

$ch(t) : \mathbb{R}_{\geq 0} \rightarrow \mathbb{R}_{\geq 1}$, Homöomorphism $\mathbb{R}_{\geq 0} \rightarrow \mathbb{R}_{\geq 1}$

Es gilt also $ch^2 - sh^2 = 1$

Jeder Punkt auf der Hyperbel



$H^1 = \{(x_0, x_1) \in \mathbb{R}^2 \mid x_0^2 - x_1^2 = 1, x_0 > 0\}$

läßt sich eindeutig schreiben als $(x_0, x_1) = (ch(s), sh(s))$

Für ein $s \in \mathbb{R}$, $\mathbb{R} \xrightarrow{\text{Homöo}} H^1$

(vgl. Parametrisierung des Einheitskreises $S^1 = \{(\cos(s), \sin(s)) \mid s \in \mathbb{R}\}$)

Betrachte jetzt $\mathbb{R} \oplus \mathbb{R}^m$, schreibe $u \in \mathbb{R} \oplus \mathbb{R}^m$ als

$u_0 \oplus \tilde{u}$ $u_0 \in \mathbb{R}$ $\tilde{u} \in \mathbb{R}^m$ und betrachte die

sym. Bilinearform

$\beta(u, v) = u_0 v_0 - \langle \tilde{u}, \tilde{v} \rangle$

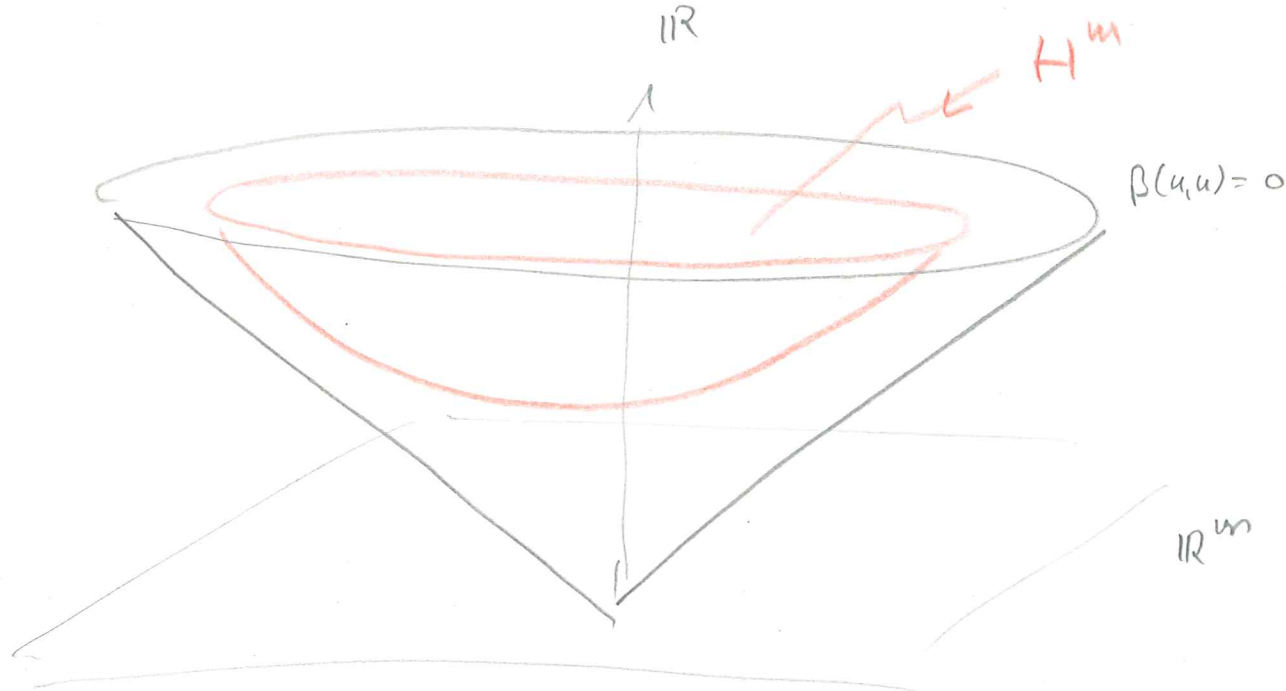
$\langle \tilde{u}, \tilde{v} \rangle = \sum_{j=1}^m \tilde{u}_j \tilde{v}_j$

Euklid. Skalarprodukt.

Definition des m -dim. hyperbol. Raums

47

$$H^m = \{ u \in \mathbb{R} \oplus \mathbb{R}^m \mid u_0 > 0, \beta(u, u) = 1 \}$$



Homöomorphism $\mathbb{R}^m \xrightarrow{\varphi} H^m, \tilde{u} \mapsto \sqrt{1 + \|\tilde{u}\|_2^2} \oplus \tilde{u}$

H^1 ist der obere Zweig der Hyperbel in \mathbb{R}^2 .

Die orthogonale Gruppe $SO(m) = \{ g \in \mathbb{R}^{m \times m} \mid \det(g) = 1, g^T g = 1 \}$

operiert auf $\mathbb{R} \oplus \mathbb{R}^m$ wie $g(u_0 \oplus \tilde{u}) = u_0 \oplus g(\tilde{u})$

und läßt β offensichtlich invariant. Der Homöom.

φ ist äquvariant bzgl. dieser Wirkung.

Die Gruppe $SO_{1,1}^+(\mathbb{R}) = \left\{ \begin{pmatrix} c & s \\ s & c \end{pmatrix} \mid c = \cosh(t), s = \sinh(t), t \in \mathbb{R} \right\}$
 $\cong (\mathbb{R}, +)$

operiert transitiv auf H^1 und läßt β invariant.

Wir sehen die Wirkung fast auf H^m durch die Einbettung $\mathbb{R} \oplus \mathbb{R} \rightarrow \mathbb{R} \oplus \mathbb{R}^m$ mit der Matrix

$$\begin{pmatrix} c & s & & & & \\ s & c & & & & \\ & & 1 & & & \\ & & & \ddots & & \\ & & & & 1 & \\ & & & & & 1 \end{pmatrix} \quad \begin{matrix} c = \cosh(t) \\ s = \sinh(t) \end{matrix}$$

Diese Gruppe läßt β invariant. Die von $SO(m)$ und $SO_{1,1}^+ \mathbb{R}$ erzeugte Gruppe nennen wir $\Omega_{1,m}$.

#

Sind $p, q \in H^m$, so gibt es $g \in \Omega_{1,m}$ mit

$$g(p) = (1, 0, \dots, 0) \quad g(q) = (c, s, 0, \dots, 0)$$

Leun: $p = p_0 \oplus \tilde{p}$ Wähl $g_1 \in SO(m)$ mit

$g_1(\tilde{p}) \in \mathbb{R} \oplus \mathbb{R}^m$, Leun $g_2 \in SO_{1,1}^+ \mathbb{R}$ mit

$g_2 g_1(p) = (1, 0, \dots, 0)$. Dann wähl $g_3 \in SO(m)$

mit $g_3 g_2 g_1(q) \in \mathbb{R} \oplus \mathbb{R}^m$. Da $g_3(1, 0, \dots, 0)$

$= (1, 0, \dots, 0)$ gilt, folgt mit $g = g_3 g_2 g_1$ die

Behauptung.

Für $p = (1, 0, \dots, 0)$ und $q = (\cosh(t), \sinh(t), 0, \dots, 0)$

gilt nun $\beta(p, q) = \cosh(t) \geq 1$

$$\beta(p, q) = 1 \Leftrightarrow t = 0$$

16 Satz 1.1 Auf H^m erhalten wir durch

$$\cosh(d(p, q)) = \beta(p, q)$$

eine Metrik $d: H^m \times H^m \rightarrow \mathbb{R}_{\geq 0}$.

Die Metrik ist invariant unter $\Omega_{1, m}$ (d.h. $\Omega_{1, m}$ operiert isometrisch auf H^m). Mit dieser Metrik ist H^m geodätisch.

Beis. Aus der Beob. ob. folgt $\beta(p, q) \geq 1$ und $\beta(p, q) = 1 \Leftrightarrow p = q$ (mit der $\Omega_{1, m}$ -Wirkung). Offensichtlich ist

$$\gamma(t) = (\cosh(t), \sinh(t), 0, \dots, 0) \text{ eine}$$

eine Geodätische. Jedes Paar von Punkten p, q läßt sich durch eine Isometrie in $\Omega_{1, m}$ auf diese Geodätische bewegen.

Es bleibt die Dreiecksungleichung zu beweisen.

Wir können annehmen, dass

$$p = (1, 0, \dots, 0)$$

$$s, t \geq 0$$

$$q = (\operatorname{ch}(t), \operatorname{sh}(t), 0, \dots, 0)$$

$$r = (\operatorname{ch}(s), \operatorname{sh}(s)r_1, \dots, \operatorname{sh}(s)r_m) \quad r_1^2 + \dots + r_m^2 = 1$$

$$|r_i| \leq 1$$

$$d(p, q) = t \quad d(p, r) = s$$

$$\beta(q, r) = \operatorname{ch}(s)\operatorname{ch}(t) - \operatorname{sh}(s)\operatorname{sh}(t)r_1$$

$$\leq \operatorname{ch}(s)\operatorname{ch}(t) + \operatorname{sh}(s)\operatorname{sh}(t) = \operatorname{ch}(s+t)$$

$$\Rightarrow d(q, r) \leq s+t = d(q, p) + d(p, r)$$



17. Polar koordinaten

Jeder Punkt $x \in \mathbb{R}^m$ lässt sich darstellen als

$$x = \xi \hat{x} \quad \text{mit } \xi \geq 0, \quad \|\hat{x}\|_2 = 1. \quad \text{Ist } x \neq 0$$

so ist diese Darstellung eindeutig. Wir definieren

$$\varphi: \mathbb{R}^m \rightarrow H^m \quad \text{durch}$$

$$\varphi(x) = \varphi(\xi \hat{x}) = \operatorname{ch}(\xi) \oplus \operatorname{sh}(\xi) \hat{x}$$

Die Abbildung φ ist C^∞ -glatt. ^{Bijektion} Wir bestimmen

ihre Ableitung am Punkt $x = \xi \hat{x}$.

Für die Kurve $g(t) = (\xi+t)\hat{x}$ gilt $\dot{g}(0) = \hat{x}$

$$\text{und } \varphi \circ \dot{g}(0) = \frac{d}{dt} [\operatorname{ch}(\xi+t) \oplus \operatorname{sh}(\xi+t) \hat{x}] \Big|_{t=0}$$

$$= \operatorname{sh}(\xi) \oplus \operatorname{ch}(\xi) \hat{x}$$

$$\Rightarrow D\varphi_x(\hat{x}) = \operatorname{sh}(\xi) \oplus \operatorname{ch}(\xi) \hat{x}$$

Setzt $g(t) = \xi(\cos(t)x^1 + \sin(t)v)$ mit $\|v\|_2 = 1$
 $\dot{g}(0) = \xi v$ $\langle v, x^1 \rangle = 0$
 $\xi \geq 0$

$$\widehat{\varphi \circ g}(0) = \frac{d}{dt} \left[\text{ch}(\xi) \oplus \text{sh}(\xi) (\cos(t)x^1 + \sin(t)v) \right] \Big|_{t=0}$$

$$= \text{ch}(0) \oplus \text{sh}(\xi) v$$

$$\Rightarrow D\varphi_x(\xi v) = \text{ch}(0) \oplus \text{sh}(\xi) v \quad \frac{\text{sh}(\xi)}{\xi} = 1 + \frac{\xi^2}{3!} + \frac{\xi^4}{5!} + \dots$$

$$D\varphi_x(v) = \text{ch}(0) \oplus \frac{\text{sh}(\xi)}{\xi} v$$

18 Satz Die Umkehrabbildung $\varphi = \widehat{\varphi}^{-1}: H^m \rightarrow \mathbb{R}^m$

ist 1-Lipschitz stetig. Auf Geodätisch durch den Punkt $(1, 0, \dots, 0)$ ist sie isometrisch.

Beweis Für ein Geodätisch γ in H^m gilt

$$d(\gamma(s), \gamma(t)) = |s - t| = \left| \int_s^t \sqrt{-\beta(\dot{\gamma}(v), \dot{\gamma}(v))} dv \right|$$

denn für die Geodätisch $\gamma(t) = (\text{ch}(t), \text{sh}(t), 0, \dots, 0)$

ist $\dot{\gamma}(t) = (\text{sh}(t), \text{ch}(t), 0, \dots, 0)$

$\Rightarrow \beta(\dot{\gamma}(t), \dot{\gamma}(t)) = -1$

Ist nun $\alpha: [0, h] \rightarrow \mathbb{R}^m$ eine Kurve mit

$\varphi \circ \alpha = \gamma$, für ein Geodätisch $\gamma: [0, h] \rightarrow H^m$,

so haben wir mit

$$\dot{\gamma}(t) = D\varphi(\gamma(t)) \dot{\alpha}(t)$$

und $\dot{\alpha}(t) = \xi x^1 \quad \dot{\alpha}(t) = (a x^1 + b v) \quad a^2 + b^2 = 1 \quad \|v\|_2 = 1$

$\|\dot{\alpha}(t)\|_2^2 = a^2 + b^2 \quad \langle x^1, v \rangle = 0$

Also $D\psi(\alpha(t))(\dot{\alpha}(t)) = a(\operatorname{sh}(\xi) \oplus \operatorname{ch}(\xi) \mathbb{1}) + b(0 \oplus \frac{\operatorname{sh}(\xi)}{\xi} \nu) =: \omega$

$\beta(\omega, \omega) = a^2 \operatorname{sh}^2(\xi) + a^2 \operatorname{ch}^2(\xi) - b^2 \left(\frac{\operatorname{sh}(\xi)}{\xi}\right)^2 = -a^2 - b^2 \left(\frac{\operatorname{sh}(\xi)}{\xi}\right)^2 \stackrel{!}{=} -1$

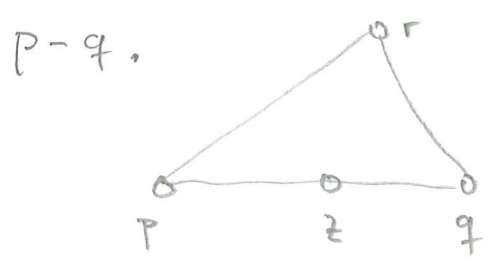
Es folgt $\|\dot{\alpha}\|_2 \leq 1$ und damit $*$

$\int_0^h \|\dot{\alpha}(t)\|_2 dt \leq h \Rightarrow \|\alpha(0) - \alpha(h)\|_2 \leq h$ □

19. Korollar Der reelle Hyperboloid $\mathbb{R} \times H^m$ ist ein vollständig CAT(0)-Raum.

Beweis Jeder abgeschlossenen Ball $\overline{B}_r(p) \subseteq H^m$ ist kompakt, also ist H^m vollständig.

Sei $p, q, r \in H^m$ und sei z auf der Geodätisch $p-q$.



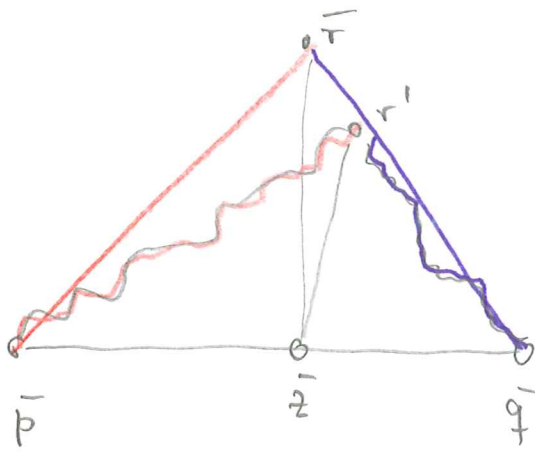
Wir dürfen annehmen, dass

$z = (1, 0, \dots, 0)$ gilt

Betrachte $\psi: H^m \rightarrow \mathbb{R}^m$. Das Bild der Geodätisch von p nach q ist eine Geodätische in \mathbb{R}^m . Setz

$\bar{p} = \psi(p)$ $\bar{z} = \psi(z)$, $\bar{q} = \psi(q)$ und $r' = \psi(r)$

Es folgt $d(z, r) = d(\bar{z}, r')$



Für den Vergleichspunkt \bar{r} von r folgt aus $d(r', \bar{q}) \leq d(r, \bar{q})$
 $d(r', \bar{p}) \leq d(r, \bar{p})$,
 dass $d(\bar{r}, \bar{z}) \geq d(r', \bar{z}) = d(r, \bar{z})$

1

(*) $\int_0^h \dot{\alpha}(t) dt = \alpha(h) - \alpha(0) \Rightarrow \|\alpha(h) - \alpha(0)\|$
 $= \left\| \int_0^h \dot{\alpha}(t) dt \right\| \leq \int_0^h \|\dot{\alpha}(t)\| dt$

□
#

20. Bem Der letzte Beweisschritt sagt: wenn X ein

geodätisch metrischer Raum ist und wenn es zu jeder Geodätisch $\gamma: [0, h] \rightarrow X$ und zu jeder $t \in [0, h]$ eine 1-Lipschitzabbildung $X \xrightarrow{\psi} \mathbb{R}^m$ gibt mit

- (1) $\psi \circ \gamma: [0, h] \rightarrow \mathbb{R}^m$ ist Geodätisch
- (2) Für alle $p \in X$ gilt $d(p, \gamma(t)) = \|\psi(p) - \psi(\gamma(t))\|_2$

so ist X ein CAT(0)-Raum.

(Das Argument funktioniert auch für $m=1$!)

Korollar Die metrische Realisierung eines euklidischen Gebäudes ist ein CAT(0)-Raum. □

(Betrachte Retraktion auf Apartment $X \rightarrow \mathbb{R}^m$)

21. Def Ein Unterraum $E \subseteq X$ eines $CAT(0)$ -Raum X heißt n -Flach, wenn E isometrisch zu $(\mathbb{R}^n, \|\cdot\|_2)$ für ein $n \geq 1$ ist. (Dann ist E automatisch konvex, vollständig und abgeschlossen.)

54

Der Flach-Rang ist $FR(X) = \max \{ n \mid \text{es gibt ein } n\text{-Flach in } X \}$.

Dsp $FR(\mathbb{R}^m) = m$ (in der euklid. Metrik)

$$FR(H^m) = 1 \quad \boxed{\text{ÜA}}$$

Offenes Problem in der Riemannsch. Geometrie: Die einfach zush. vollst. Riem. Maf. von Flach-Rang ≥ 2 (irreduzibel) sind genau die (bekannten) symmetrisch Riem. von nicht kompakten Typ.